

九州大学 工学部 正員 粟谷陽一  
 同 正員 植田哲也  
 同 正員 海田輝え

## I. まえがき

底泥の巻き上げは、水質汚濁と密接な関りがある。水中工事の際、土砂の浚渫の際、河川における洪水時、あるいは沈殿池での流速が限界を越えた際等において汚泥の巻き上げが生ずる。砂粒のごとき非凝聚性土に亘っては、限界掃流力、掃流量等についての研究成果がかなり得られているが、底泥のように凝聚性を有するものについてはこののような流体力学的特性に関する研究は、その物性の複雑さのためあって、重要であるにもかかわらず、ほとんどすすめられていない。底泥の巻き上げの実験を行なうにあたっての底泥の形成方式として、①水中における重力沈降を利用する方法、と②汚泥の含水比をある値に定め底泥として水路に敷く方法、とが考えられる。前者は自然状態での巻き上げ量を求める場合は用いられるが、限界掃流力を求める場合には、後者の方が容易になる。本報告は、②の汚泥の敷き方による凝聚性を有する混合粒径の汚泥の限界掃流力について実験的検討を加えたものである。

## II. 実験装置およびその方法

実験に用いた水路は図-1に示すように全長13m、幅0.87mの可変勾配循環式水路で、上流側に3mの助走区間、中央部に7mの汚泥を敷く区間、下流端に1mの整流区間を設けたものである。底泥は4~5cmの厚さに敷くようにして、上流側助走区間と底泥区間の段差部には、巻き上げが生じないよう約0.5mの傾斜板を取りつけている。水面勾配の測定にはチャタフゲージを用いた。この際のピトーブ管は底泥下端からほゞ1mと4mのところに設けた。また循環水量はオリフィスにより測定した。汚泥の降伏値 $\eta_0$ および塑性粘度 $\eta_p$ はコンプレート型粘度計（コーン径81mm、頂角122.8°、平均径0.71mm<sup>2</sup>のガラス球をすべり止めに張り付けたもの）を用いて求めた。

実験に際しては、所定の含水比に調整した汚泥を水路床に敷きつめて水を流し、水面勾配および上下流端での渦度の時間変化を測定した。流量を一定に保ち水路内の水量を減らすか、流量を増すかによらず30~40分間隔で掃流力を増加させて、限界掃流力を渦度の単位時間当たりの変化量が急増するところを採用した。実験時のレイノルズ数は、ほゞ $1.5 \times 10^5$ であった。

実験に使用した汚泥は図-2Aに示すような粒度分布を有し、その密度と強熱減量比は各々、 $2.73 \text{ g/cm}^3$ 、 $5.1\%$ であった。

## III. 実験結果と考察

含水比を横軸にとって、汚泥の降伏値、限界掃流力、粗度係数を各々、図-3に示す。汚泥の降伏値は片対数紙上では一直線にのることが解る。限界掃流力は全体的には含水比の増加につれて減少するが、中間部に極小値が存在することが解る。流れを等流とみなして求めた粗度係数にも極小値が存在し、その後の含水比の増加により粗度係数が増加することが解る。しかしもこの両者の極小値は同一含水比において生じてゐることが特徴的である。含水比にしたがって、汚泥の性状および巻き上げ状態を順次みてみると、先ず含水比60~70%においては、水路に汚泥を敷く際に自重では平らにならず、鎌を用いて均さなければならぬ。このため実験終了時にも鎌の跡形が残っているのが見られる。

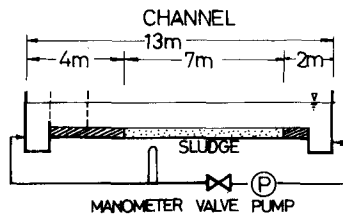


Fig-1 APPARATUS

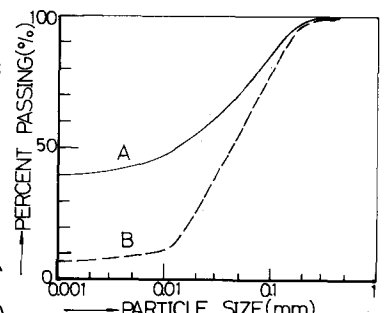


Fig-2 GRAIN SIZE DISTRIBUTION

したがつて、この区間での巻き上げは、表層部の突き出た部分や弱い部分が削られるように剥されていくと考えられる。粗度係数として鍔の跡形も効いていくと考えられる。含水比が約80%の極小値のところでは降伏値が約 $1000 \text{ dyn/cm}^2$ である。この含水比では、汚泥を數く際に自重でかなり平らになり均すために鍔を使用する必要は無くなる。このために、粗度係数、限界掃流力は含水比の低いものに較べて低下することになる。含水比80%のところでの摩擦損失係数を実験時の $U^*$ と水深を用いて求めると $f = 0.0033$ 、一方、 $f = 2(U^*/v)^2$ により求めた値は、 $f = 0.0032$ となり、実際の底泥には起伏があるにもかかわらず、滑らかな壁面ないしはより滑らかとなつていい。このことは、この汚泥は、降伏値以下の応力では壁面が flexible boundary として働き、主流部のエネルギーを消費する割合が少ない結果と考えられる。含水比が 80~90%の間では、限界掃流力、粗度係数共に増加する。実験終了時のこの汚泥の表面は実験開始当初の汚泥とは粒度分布が異なり、微粒子が流され粗いものが留まつた状態になつてあり、リップルの谷から谷までが一枚の板のようになつていい。この表層部の粒度分布は図-2B に極めて近い。つまり、armoring が生じていい。この表層部を非凝聚性粒子と見なし栗原の式<sup>(1)</sup>を用いると  $U^*/(g\bar{d}_0) = 0.16$  ( $\bar{d}$ : 粒子比重)となる。本実験では  $U^*/(g\bar{d}_0) = 21.5$  ( $U^*/\bar{d}$ ) の関係があり、 $\frac{U^*\bar{d}}{g}$  が 0.25~0.30 では、左辺は 1.4~2.0 となり 10 倍異なることになる。したがつて少なくとも凝聚性が無視できないうちに考えられる。含水比が 90%以上になると汚泥の流動性が極めて良くなり、実験終了時にはリップルの頂点付近の armoring 現象は無くなる代りに、リップルの谷の部分に水流と直角の方向に汚泥中に沈んだ形で図-2B の粒度分布に近い形の粒子群が蛇のように存在するようになる。これは汚泥の流動性が増したために粗い粒子を表面に支持しておくことができなくなり、リップルの谷の部分に輸送されて沈んだものと考えられる。このような含水比になると、汚泥界面には密度流が見られるようだ。Instability にとづく小波動が生じるようになり、性質も密度流に近くはなつてくる。密度流としての界面抵抗を較べると、本実験では、 $4U \approx 40 \text{ cm/s}$ ,  $\Delta z \approx 1 \text{ cm}$ ,  $R \approx 40 \text{ cm}$ ,  $\epsilon \approx 0.5$  として  $f \approx 2 \times 10^{-2}$ 、密度理論でもほぼ同一の値となり両者の現象が類似してくると考えられる。含水比が 110% を越えると鉛直方向に粒度分布が生じ、底部の粗い粒子は図-2B の粒度分布を有する。図-4, 5 に考えうる無次元量でデータを整理していく。これらから底泥の巻き上げ現象は大きく三領域に分けられ、それと併せた物理的現象が生じていることが解る。本研究は昭和52, 53年度文部省科研費の補助によるものである。

参考文献  
 (1) 水理公式集、土木学会編 P200~201.  
 (2) 文部省科研費「成層底泥の界面現象に関する水工学的研究」報告書、代表者馬祐之 S49.3 P14

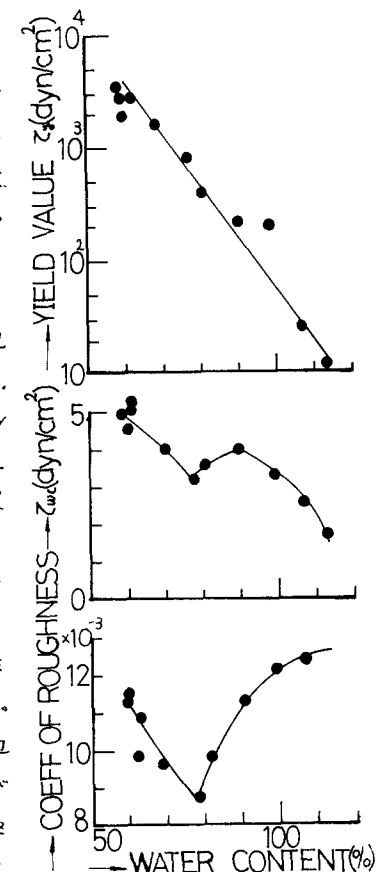


Fig-3 RELATIONS BETWEEN WATER CONTENT AND  $\tau_0$ ,  $\tau_{w0}$  &  $\tau_w/\tau_y$ .

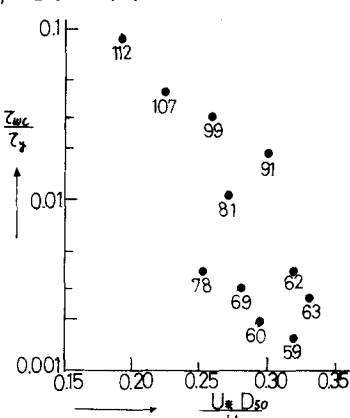


Fig-4 RELATION BETWEEN  $\tau_{w0}/\tau_y$  AND  $U^* D_0 / v$ . VALUES ARE WATER-CONTENT.

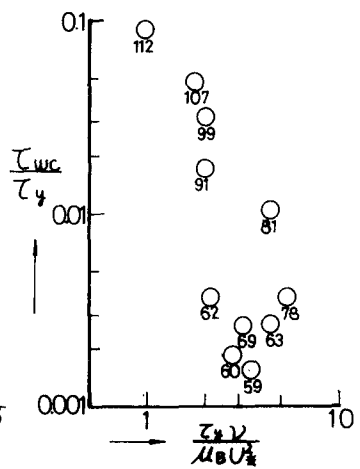


Fig-5 RELATION BETWEEN  $\tau_{w0}/\tau_y$  AND  $\tau_{w0} / (\mu_0 U^*)$ . VALUES ARE WATER-CONTENT.